

(19)日本国特許庁(JP)

(12)特許公報(B2)

(11)特許番号  
特許第7243823号  
(P7243823)

(45)発行日 令和5年3月22日(2023.3.22)

(24)登録日 令和5年3月13日(2023.3.13)

(51)国際特許分類 F I  
G 0 6 N 20/00 (2019.01) G 0 6 N 20/00 1 3 0

請求項の数 4 (全12頁)

(21)出願番号	特願2021-525448(P2021-525448)	(73)特許権者	000004226 日本電信電話株式会社 東京都千代田区大手町一丁目5番1号
(86)(22)出願日	令和1年6月11日(2019.6.11)	(74)代理人	110001519 弁理士法人太陽国際特許事務所
(86)国際出願番号	PCT/JP2019/023151	(72)発明者	大川 真耶 東京都千代田区大手町一丁目5番1号 日本電信電話株式会社内
(87)国際公開番号	WO2020/250312	(72)発明者	戸田 浩之 東京都千代田区大手町一丁目5番1号 日本電信電話株式会社内
(87)国際公開日	令和2年12月17日(2020.12.17)	審査官	金沢 史明
審査請求日	令和3年11月2日(2021.11.2)		

最終頁に続く

(54)【発明の名称】 異常検知装置、異常検知方法、及び異常検知プログラム

(57)【特許請求の範囲】

【請求項1】

時系列のイベントデータである複数のイベント系列と、前記複数のイベント系列の各々の各イベントデータについての異常又は正常を示すラベルとに基づいて、前記時系列の各時刻におけるイベントの発生確率と前記複数のイベント系列の各々の異常度との関係を表す目的関数を最適化するように、異常度を予測する対象となるイベント系列である対象イベント系列を入力した場合に、前記対象イベント系列の異常度を出力するモデルのパラメータを学習する学習部

を含み、

前記発生確率は、点過程の強度関数で表され、

前記目的関数は、前記複数のイベント系列の各々についての前記点過程の尤度を用いて表される線形回帰モデルを含み、以下の式で表され、

前記学習部は、前記目的関数の値が最大となるように、前記モデルのパラメータを学習する異常検知装置。

$$\mathcal{L} = \sum_{i=1}^n D(y_i | f(Z_i; \beta))$$

ここで、 $Z_i$  は、 $i$  番目のイベント系列に対する点過程の尤度であり、 $D(A | B)$  は

AとBの乖離度を表す規準であり、 $f(\cdot)$ は前記線形回帰モデルであり、 $\beta$ は前記線形回帰モデルのパラメータであり、 $y_i$ は、 $i$ 番目のイベント系列の各々の各イベントデータについての前記ラベルである。

【請求項2】

前記対象イベント系列の入力を受け付ける検索部と、  
前記対象イベント系列と、前記モデルと、前記学習部により学習されたパラメータとに基づいて、前記対象イベント系列の異常度を算出する予測部と、  
を更に含む請求項1記載の異常検知装置。

【請求項3】

学習部が、時系列のイベントデータである複数のイベント系列と、前記複数のイベント系列の各々の各イベントデータについての異常又は正常を示すラベルとに基づいて、前記時系列の各時刻におけるイベントの発生確率と前記複数のイベント系列の各々の異常度との関係を表す目的関数を最適化するように、異常度を予測する対象となるイベント系列である対象イベント系列を入力した場合に、前記対象イベント系列の異常度を出力するモデルのパラメータを学習する

10

ことを含み、

前記発生確率は、点過程の強度関数で表され、

前記目的関数は、前記複数のイベント系列の各々についての前記点過程の尤度を用いて表される線形回帰モデルを含み、以下の式で表され、

前記学習部は、前記目的関数の値が最大となるように、前記モデルのパラメータを学習する異常検知方法。

20

$$\mathcal{L} = \sum_{i=1}^n D(y_i | f(Z_i; \beta))$$

ここで、 $Z_i$ は、 $i$ 番目のイベント系列に対する点過程の尤度であり、 $D(A | B)$ はAとBの乖離度を表す規準であり、 $f(\cdot)$ は前記線形回帰モデルであり、 $\beta$ は前記線形回帰モデルのパラメータであり、 $y_i$ は、 $i$ 番目のイベント系列の各々の各イベントデータについての前記ラベルである。

30

【請求項4】

学習部が、時系列のイベントデータである複数のイベント系列と、前記複数のイベント系列の各々の各イベントデータについての異常又は正常を示すラベルとに基づいて、前記時系列の各時刻におけるイベントの発生確率と前記複数のイベント系列の各々の異常度との関係を表す目的関数を最適化するように、異常度を予測する対象となるイベント系列である対象イベント系列を入力した場合に、前記対象イベント系列の異常度を出力するモデルのパラメータを学習する

ことを含み、

前記発生確率は、点過程の強度関数で表され、

前記目的関数は、前記複数のイベント系列の各々についての前記点過程の尤度を用いて表される線形回帰モデルを含み、以下の式で表され、

40

前記学習部は、前記目的関数の値が最大となるように、前記モデルのパラメータを学習する処理をコンピュータに実行させるための異常検知プログラム。

$$\mathcal{L} = \sum_{i=1}^n D(y_i | f(Z_i; \beta))$$

ここで、 $Z_i$ は、 $i$ 番目のイベント系列に対する点過程の尤度であり、 $D(A | B)$ はAとBの乖離度を表す規準であり、 $f(\cdot)$ は前記線形回帰モデルであり、 $\beta$ は前記線形

50

回帰モデルのパラメータであり、 $y_i$  は、 $i$  番目のイベント系列の各々の各イベントデータについての前記ラベルである。

【発明の詳細な説明】

【技術分野】

【0001】

本開示は、異常検知装置、異常検知方法、及び異常検知プログラムに関する。

【背景技術】

【0002】

従来から、イベントデータの異常度を判定する異常検知は、多くのドメインで必要不可欠な技術である。例えば、金融取引の系列データの異常が検知できれば、不正取引を自動で特定することができる。タクシーの乗降履歴の系列の異常が検知できれば、混雑が起きている場所を特定し迅速に事前措置を取ることができる。イベントデータは、ある事象の発生時刻・発生場所の系列からなるデータで、一般的に点過程を用いてモデル化される（非特許文献1）。

10

【0003】

イベントデータの異常を検知するモデルは過去にいくつか提案されているが、異常であることを示す正解データが与えられていない場合を想定しているものが多い。一方、異常又は正常を示す正解ラベルが事前に与えられている場合については、例えば、離散化された特徴量に基づいて教師ありで交通需要の異常予測を行う技術が提案されている（非特許文献2）。

20

【先行技術文献】

【非特許文献】

【0004】

【文献】Ihler, Alexander, Jon Hutchins, and Padhraic Smyth. "Adaptive event detection with time-varying poisson processes". Proceedings of the 12th ACM SIGKDD international conference on Knowledge discovery and data mining. ACM, 2006.

A. Vahedian, X. Zhou, L. Tong, W. N. Street, and Y. Li., "Predicting urban dispersal events: A two-stage framework through deep survival analysis on mobility data", AAAI Conference on Artificial Intelligence, IEEE, 2018.

30

【発明の概要】

【発明が解決しようとする課題】

【0005】

イベントデータの異常検知は、様々なドメインで大きな価値を持つ。しかし、既存の教師あり異常検知手法では、イベントデータを考慮することができない。例えば、非特許文献2の手法は、集計された特徴量を扱うものであるため、イベントデータに対して適用することができない。このため、精度よくイベントデータの異常検知をすることができない、という問題があった。

【0006】

開示の技術は、上記の点に鑑みてなされたものであり、精度よくイベントデータの異常検知をすることができる異常検知装置、異常検知方法、及び異常検知プログラムを提供することを目的とする。

40

【課題を解決するための手段】

【0007】

本開示の第1態様は、異常検知装置であって、時系列のイベントデータである複数のイベント系列と、前記複数のイベント系列の各々の各イベントデータについての異常又は正常を示すラベルとに基づいて、前記時系列の各時刻におけるイベントの発生確率と前記複数のイベント系列の各々の異常度との関係を表す目的関数を最適化するように、異常度を予測する対象となるイベント系列である対象イベント系列を入力した場合に、前記対象イベント系列の異常度を出力するモデルのパラメータを学習する学習部を含む。

50

## 【 0 0 0 8 】

本開示の第2態様は、異常検知方法であって、学習部が、時系列のイベントデータである複数のイベント系列と、前記複数のイベント系列の各々の各イベントデータについての異常又は正常を示すラベルとに基づいて、前記時系列の各時刻におけるイベントの発生確率と前記複数のイベント系列の各々の異常度との関係を表す目的関数を最適化するように、異常度を予測する対象となるイベント系列である対象イベント系列を入力した場合に、前記対象イベント系列の異常度を出力するモデルのパラメータを学習する。

## 【 0 0 0 9 】

本開示の第3態様は、異常検知プログラムであって、学習部が、時系列のイベントデータである複数のイベント系列と、前記複数のイベント系列の各々の各イベントデータについての異常又は正常を示すラベルとに基づいて、前記時系列の各時刻におけるイベントの発生確率と前記複数のイベント系列の各々の異常度との関係を表す目的関数を最適化するように、異常度を予測する対象となるイベント系列である対象イベント系列を入力した場合に、前記対象イベント系列の異常度を出力するモデルのパラメータを学習することをコンピュータに実行させるための異常検知プログラムである。

## 【 発明の効果 】

## 【 0 0 1 0 】

開示の技術によれば、精度よくイベントデータの異常検知をすることができる。

## 【 図面の簡単な説明 】

## 【 0 0 1 1 】

【 図 1 】 実施形態に係る異常検知装置として機能するコンピュータの概略構成を示すブロック図である。

【 図 2 】 実施形態に係る異常検知装置の機能構成の例を示すブロック図である。

【 図 3 】 検索履歴の一例を示す図である。

【 図 4 】 異常ラベルの一例を示す図である。

【 図 5 】 実施形態に係る異常検知装置の異常検知処理ルーチンを示すフローチャートである。

## 【 発明を実施するための形態 】

## 【 0 0 1 2 】

以下、開示の技術の実施形態の例を、図面を参照しつつ説明する。なお、各図面において同一又は等価な構成要素及び部分には同一の参照符号を付与している。また、図面の寸法比率は、説明の都合上誇張されており、実際の比率とは異なる場合がある。

## 【 0 0 1 3 】

< 本開示の技術の実施形態に係る異常検知装置の構成 >

図1は、本実施形態に係る異常検知装置10のハードウェア構成を示すブロック図である。図1に示すように、異常検知装置10は、CPU (Central Processing Unit) 11、ROM (Read Only Memory) 12、RAM (Random Access Memory) 13、ストレージ14、入力部15、表示部16及び通信インタフェース (I/F) 17を有する。各構成は、バス19を介して相互に通信可能に接続されている。

## 【 0 0 1 4 】

CPU 11は、中央演算処理ユニットであり、各種プログラムを実行したり、各部を制御したりする。すなわち、CPU 11は、ROM 12又はストレージ14からプログラムを読み出し、RAM 13を作業領域としてプログラムを実行する。CPU 11は、ROM 12又はストレージ14に記憶されているプログラムに従って、上記各構成の制御及び各種の演算処理を行う。本実施形態では、ROM 12又はストレージ14には、異常検知処理を実行するための異常検知プログラムが記憶されている。

## 【 0 0 1 5 】

ROM 12は、各種プログラム及び各種データを記憶する。RAM 13は、作業領域として一時的にプログラム又はデータを記憶する。ストレージ14は、HDD (Hard

10

20

30

40

50

Disk Drive)又はSSD(Solid State Drive)により構成され、オペレーティングシステムを含む各種プログラム、及び各種データを記憶する。

【0016】

入力部15は、マウス等のポインティングデバイス、及びキーボードを含み、各種の入力を行うために使用される。

【0017】

表示部16は、例えば、液晶ディスプレイであり、各種の情報を表示する。表示部16は、タッチパネル方式を採用して、入力部15として機能しても良い。

【0018】

通信インタフェース17は、他の機器と通信するためのインタフェースであり、例えば、イーサネット(登録商標)、FDDI、Wi-Fi(登録商標)等の規格が用いられる。

10

【0019】

次に、異常検知装置10の機能構成について説明する。図2は、異常検知装置10の機能構成の例を示すブロック図である。

【0020】

図2に示すように、異常検知装置10は、機能構成として、学習データ格納部101と、ラベル格納部102と、操作部103と、検索部104と、学習部105と、パラメータ格納部106と、対象データ格納部107と、予測部108と、出力部109と、を有する。各機能構成は、CPU11がROM12又はストレージ14に記憶された異常検知プログラムを読み出し、RAM13に展開して実行することにより実現される。

20

【0021】

学習データ格納部101には、時系列のイベントデータであるイベント系列が複数格納されている。具体的には、学習データ格納部101は、学習部105からの要求に従って、イベント系列を読み出し、読み出したイベント系列を学習部105に渡す。イベントデータはある事象(イベント)の発生時刻及び発生場所の系列からなるデータであり、例えば金融市場における取引の記録、タクシーの乗降履歴、E-commerceサイトにおける購買履歴、犯罪の履歴等である。より具体的には、イベントデータは、例えば、ルート検索アプリの検索ログであり、あるエリア(駅等) $l_i$ 、ある日にち $d_i$ 、ある時間 $h_i$ 、を対象とする検索が行われた時刻 $j$ におけるイベント系列 $x = \{x_1, x_2, \dots\}$ で定義される。なお、“イベント系列 $x$ ”の“ $x$ ”は、数式中は太字の $x$ で表す。本開示では、時刻 $T$ までに観測された $n$ 個のイベント系列 $x$ からなるデータセット $X = \{x_i\}_{i=1}^n$ が与えられた場合を考える。各イベント系列 $x_i$ の長さを $n_i$ とおく。

30

【0022】

図3に、イベントデータの例として、検索ログ(履歴)をイベントデータとした場合を示す。図3に示すように、検索対象のエリア、検索対象の日にち、検索対象の時間に紐づいて、検索ログが、学習データ格納部101に格納されている。図3中の検索ログは、例えば、検索対象のエリア $l_i$ を“A駅”、検索対象の日にち $d$ を“2018/1/2”、検索対象の時間 $h_i$ を“10:00”を対象とする検索が行われた時刻 $j$ (1, 3, 12等)が時系列に格納されている。

【0023】

40

ラベル格納部102には、複数のイベント系列の各々の各イベントデータについての異常又は正常を示すラベルが格納されている。具体的には、ラベル格納部102は、学習部105からの要求に従って、異常又は正常を示すラベルを読み出し、読み出したラベルを学習部105に渡す。異常又は正常を示すラベルは、例えば金融取引であれば「不正取引が行われていたかどうか」、「株価の乱高下が発生していたかどうか」、タクシーの乗降履歴なら「乗降時に混雑が起きていたかどうか」等、手動又は自動で取得されたものである。本開示では、 $n$ 個のイベント系列 $x$ からなるデータセット $X$ と共に、エリア $l_i$ 、日にち $d_i$ 、時間帯 $h_i$ の各々に対応するラベル $Y = \{y_i\}_{i=1}^n$ が与えられているものとする。ここで $y_i$ は、例えばエリア $l_i$ 、日にち $d_i$ 、時間帯 $h_i$ において混雑が起きているか否かを表す二値データ $y_i \in [0, 1]$ である。

50

## 【 0 0 2 4 】

図 4 に、イベントデータが上記の検索ログである場合の、ラベルの例を示す。図 4 中の異常の項目が、ラベルである。図 4 の例において、ラベルは、異常である（混雑が発生した）場合、1（混雑あり）となり、正常である（混雑が発生していない）場合、0（混雑なし）となる。

## 【 0 0 2 5 】

なお、学習データ格納部 1 0 1 及びラベル格納部 1 0 2 は、Web サーバや、データベースを具備するデータベースサーバ等として構成することもできる。

## 【 0 0 2 6 】

操作部 1 0 3 は、学習データ格納部 1 0 1 及びラベル格納部 1 0 2 に格納されているデータに対する各種操作を受け付ける。各種操作とは、データを登録、修正、削除する操作等である。

10

## 【 0 0 2 7 】

検索部 1 0 4 は、対象イベント系列  $x_i$  の入力を受け付ける。具体的には、検索部 1 0 4 は、まず、異常度の予測の対象となるイベント系列についての、時刻及び場所の情報を受け付ける。次に、検索部 1 0 4 は、受け付けた時刻及び場所に紐づく各イベントデータを、対象データ格納部 1 0 7 から取得し、対象イベント系列  $x_i$  とする。そして、検索部 1 0 4 は、対象イベント系列  $x_i$  を、予測部 1 0 8 に渡す。

## 【 0 0 2 8 】

学習部 1 0 5 は、複数のイベント系列  $x$  と、複数のイベント系列  $x$  の各々の各イベントデータについての異常又は正常を示すラベル  $y$  とに基づいて、時系列の各時刻におけるイベントの発生確率と複数のイベント系列  $x$  の各々の異常度との関係を表す目的関数  $L$  を最適化するように、異常度を予測する対象となるイベント系列である対象イベント系列  $x$  を入力した場合に、対象イベント系列  $x$  の異常度  $s$  を出力するモデルのパラメータを学習する。

20

## 【 0 0 2 9 】

具体的には、学習部 1 0 5 は、まず、学習データ格納部 1 0 1 からデータセット  $X$  を、ラベル格納部 1 0 2 からラベル  $Y$  を取得する。次に、学習部 1 0 5 は、取得したデータセット  $X$  及びラベル  $Y$  に基づいて、イベント系列  $x$  と当該イベント系列  $x$  の異常度  $s$  との関係を示すモデルのパラメータを学習する。

30

## 【 0 0 3 0 】

ここで、学習部 1 0 5 におけるパラメータの学習手順を説明する。学習部 1 0 5 では、過去のイベントをトリガーとして起こるイベントを、点過程を用いてモデル化する。一般的な点過程モデルの手続きに従い、まず強度関数の設計を行う。強度関数は、単位時間当たりにイベントが発生する確率である発生確率を表す関数である。以下にその一例を示す。

## 【 0 0 3 1 】

まず、イベント系列をモデル化するため、点過程の強度関数  $\lambda(x|\theta)$  を導入する。ここで、強度関数  $\lambda(x|\theta)$  は時刻  $t$  におけるイベント（検索行動）の発生確率、 $\theta$  は強度関数のパラメータである。強度関数  $\lambda(x|\theta)$  が与えられた下で、 $i$  番目のイベント系列  $x_i = \{ x_{i1}, \dots, x_{in_i} \}$  に対する点過程の尤度  $Z_i$  は、下記式 (1) で表すことができる。

40

## 【 0 0 3 2 】

## 【数 1】

$$Z_i \equiv \log p(x_i | \lambda(x; \theta)) = \sum_{j=1}^{n_i} \lambda(x_j; \theta) - \int_0^T \lambda(x; \theta) dx \quad \dots (1)$$

## 【 0 0 3 3 】

一般的な点過程の枠組みでは、各イベント系列に対する尤度  $Z_i$  の和  $\sum_{i=1}^n Z_i$  を最

50

大化する を求める。本開示では、当該尤度  $Z_i$  の和を最大化する目的関数を下記式 (2) で表す。

【0034】

【数2】

$$\mathcal{L} = \sum_{i=1}^n D(y_i | f(Z_i; \beta)) \quad \dots (2)$$

【0035】

10

ここで、 $D(A | B)$  は A と B の乖離度を表す規準であり、例えば二乗誤差等を用いることができる。また、 $f(\cdot)$  は線形回帰モデル、 $\beta$  は線形回帰モデルのパラメータである。学習部 105 は、上記式 (2) を最大化するように、パラメータ  $\beta$  及び  $\beta$  を学習する。当該最適化にはどのような方法を用いても良い。例えば、上記式 (2) の目的関数を、勾配法を用いて最適化することができる。そして、学習部 105 は、学習したパラメータ  $\hat{\beta}$  (数式中は、 $\beta$  の上に “ $\hat{\cdot}$ ” とする) 及び  $\hat{\beta}$  を、パラメータ格納部 106 に格納する。

【0036】

パラメータ格納部 106 には、学習部 105 により学習されたパラメータ  $\hat{\beta}$  及び  $\hat{\beta}$  の組を格納する。パラメータ格納部 106 は、推定したパラメータの組が保存され、復元可能なものであれば、なんでも良い。例えば、データベースや、予め備えられた汎用的な記憶装置 (メモリやハードディスク装置) の特定領域に記憶される。

20

【0037】

対象データ格納部 107 には、異常度を予測する対象となるイベント系列  $x_i$  が格納されている。イベントデータは、学習データ格納部 101 に格納されているイベントデータと同様、時刻  $t_j$  のイベント系列  $x_i = \{x_{i1}, x_{i2}, \dots\}$  で定義される。本開示では、時刻 T までに観測された  $n_i$  個のイベント系列  $x_i$  からなるデータセット  $X_i = \{x_{i1}, x_{i2}, \dots, x_{in_i}\}$  が与えられているものとする。また、各イベント系列  $x_i$  の長さを  $n_i$  とおく。

【0038】

予測部 108 は、対象イベント系列  $x_i$  と、モデルと、学習部 105 により学習されたパラメータ  $\hat{\beta}$  とに基づいて、対象イベント系列  $x_i$  の異常度を算出する。

30

【0039】

具体的には、予測部 108 は、まず、パラメータ格納部 106 から学習済みパラメータ  $\hat{\beta}$  を取得する。次に、予測部 108 は、 $n_i$  個のイベントからなる新しいイベント系列  $\{x_{i1}, x_{i2}, \dots\}$  とパラメータの推定値  $\hat{\beta}$  とに基づいて、対象イベント系列  $x_i$  の異常度  $s_i$  を、下記式 (3) 及び (4) を用いて算出する。

【0040】

【数3】

$$Z' = \sum_{i=1}^{n'} \lambda(x'_i; \hat{\theta}) - \int_0^T \lambda(x; \hat{\theta}) dx \quad \dots (3)$$

40

$$s' = f(Z') \quad \dots (4)$$

【0041】

そして、予測部 108 は、算出した異常度  $s_i$  を、出力部 109 に渡す。

【0042】

出力部 109 は、予測部 108 により算出された異常度  $s_i$  を、予測結果として出力する。

50

## 【0043】

<本開示の技術の実施形態に係る異常検知装置の作用>

次に、異常検知装置10の作用について説明する。

図5は、異常検知装置10による異常検知処理ルーチンの流れを示すフローチャートである。CPU11がROM12又はストレージ14から異常検知プログラムを読み出して、RAM13に展開して実行することにより、異常検知処理ルーチンが行なわれる。

## 【0044】

ステップS101において、CPU11は、学習部105として、学習データ格納部101からデータセットXを、ラベル格納部102からラベルYを取得する。

## 【0045】

ステップS102において、CPU11は、学習部105として、上記ステップS101により取得したデータセットX及びラベルYに基づいて、イベント系列xと当該イベント系列xの異常度sとの関係を示すモデルのパラメータを学習する。

## 【0046】

ステップS103において、CPU11は、学習部105として、上記ステップS102により学習したパラメータ $\hat{\theta}$ 及び $\hat{\sigma}$ を、パラメータ格納部106に格納する。

## 【0047】

ステップS104において、CPU11は、検索部104として、対象イベント系列 $x_i$ の入力を受け付ける。

## 【0048】

ステップS105において、CPU11は、予測部108として、パラメータ格納部106から学習済みのパラメータ $\hat{\theta}$ を取得する。

## 【0049】

ステップS106において、CPU11は、予測部108として、対象イベント系列 $x_i$ と、モデルと、上記ステップS105により取得したパラメータ $\hat{\theta}$ とに基づいて、対象イベント系列 $x_i$ の異常度を算出する。

## 【0050】

ステップS107において、CPU11は、出力部109として、上記ステップS106により算出された異常度sを、予測結果として出力する。

## 【0051】

以上説明したように、本開示の実施形態に係る異常検知装置によれば、時系列のイベントデータである複数のイベント系列と、複数のイベント系列の各々の各イベントデータについての異常又は正常を示すラベルとに基づいて、時系列の各時刻におけるイベントの発生確率と複数のイベント系列の各々の異常度との関係を表す目的関数を最適化するように、異常度を予測する対象となるイベント系列である対象イベント系列を入力した場合に、対象イベント系列の異常度を出力するモデルのパラメータを学習するため、精度よくイベントデータの異常検知をすることができる。

## 【0052】

なお、本開示は、上述した実施形態に限定されるものではなく、この発明の要旨を逸脱しない範囲内で様々な変形や応用が可能である。

## 【0053】

上記実施形態では、学習部及び予測部を含む各機能構成が1つのコンピュータで実現される場合について説明したが、学習部と予測部とは、それぞれ別のコンピュータで実現してもよい。この場合、学習部を含むコンピュータで学習されたパラメータをパラメータ格納部に格納しておき、予測部を含むコンピュータからパラメータ格納部に格納されたパラメータを読み出して、異常検知処理を実行すればよい。

## 【0054】

なお、上記実施形態でCPUがソフトウェア(プログラム)を読み込んで実行した異常検知プログラムを、CPU以外の各種のプロセッサが実行してもよい。この場合のプロセッサとしては、FPGA(Field-Programmable Gate Array

10

20

30

40

50



)等の製造後に回路構成を変更可能なPLD(Programmable Logic Device)、及びASIC(Application Specific Integrated Circuit)等の特定の処理を実行させるために専用に設計された回路構成を有するプロセッサである専用電気回路等が例示される。また、異常検知プログラムを、これらの各種のプロセッサのうちの1つで実行してもよいし、同種又は異種の2つ以上のプロセッサの組み合わせ(例えば、複数のFPGA、及びCPUとFPGAとの組み合わせ等)で実行してもよい。また、これらの各種のプロセッサのハードウェア的な構造は、より具体的には、半導体素子等の回路素子を組み合わせた電気回路である。

#### 【0055】

また、上記各実施形態では、異常検知プログラムがROM12又はストレージ14に予め記憶(インストール)されている態様を説明したが、これに限定されない。プログラムは、CD-ROM(Compact Disk Read Only Memory)、DVD-ROM(Digital Versatile Disk Read Only Memory)、及びUSB(Universal Serial Bus)メモリ等の非一時的(non-transitory)記憶媒体に記憶された形態で提供されてもよい。また、プログラムは、ネットワークを介して外部装置からダウンロードされる形態としてもよい。

10

#### 【0056】

以上の実施形態に関し、更に以下の付記を開示する。

(付記項1)

20

メモリと、

前記メモリに接続された少なくとも1つのプロセッサと、

を含み、

前記プロセッサは、

時系列のイベントデータである複数のイベント系列と、前記複数のイベント系列の各々の各イベントデータについての異常又は正常を示すラベルとに基づいて、前記時系列の各時刻におけるイベントの発生確率と前記複数のイベント系列の各々の異常度との関係を表す目的関数を最適化するように、異常度を予測する対象となるイベント系列である対象イベント系列を入力した場合に、前記対象イベント系列の異常度を出力するモデルのパラメータを学習する

30

ように構成されている異常検知装置。

#### 【0057】

(付記項2)

時系列のイベントデータである複数のイベント系列と、前記複数のイベント系列の各々の各イベントデータについての異常又は正常を示すラベルとに基づいて、前記時系列の各時刻におけるイベントの発生確率と前記複数のイベント系列の各々の異常度との関係を表す目的関数を最適化するように、異常度を予測する対象となるイベント系列である対象イベント系列を入力した場合に、前記対象イベント系列の異常度を出力するモデルのパラメータを学習する

ことをコンピュータに実行させる異常検知プログラムを記憶した非一時的記憶媒体。

40

#### 【符号の説明】

#### 【0058】

- 10 異常検知装置
- 11 CPU
- 12 ROM
- 13 RAM
- 14 ストレージ
- 15 入力部
- 16 表示部
- 17 通信インタフェース

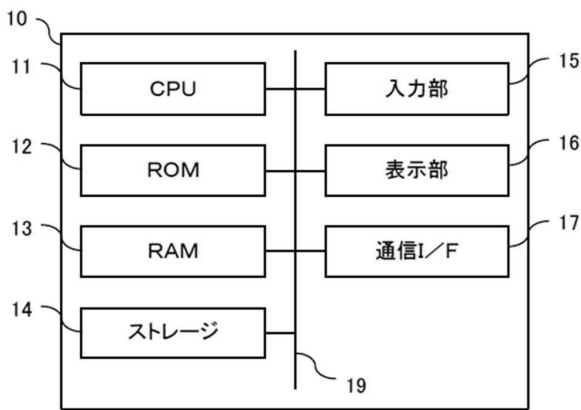
50

- 1 9 バス
- 1 0 1 学習データ格納部
- 1 0 2 ラベル格納部
- 1 0 3 操作部
- 1 0 4 検索部
- 1 0 5 学習部
- 1 0 6 パラメータ格納部
- 1 0 7 対象データ格納部
- 1 0 8 予測部
- 1 0 9 出力部

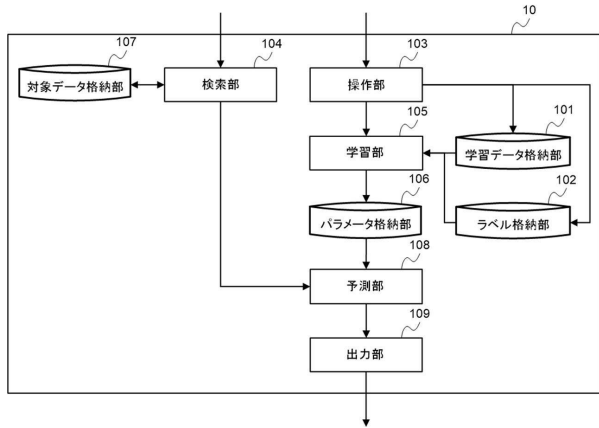
10

【図面】

【図 1】



【図 2】



20

【図 3】

検索対象のエリア	検索対象の日にち	検索対象の時間	検索ログ
A駅	2018/1/2	10:00	1,3,3,10,12,...
B駅	2018/1/4	12:00	5,10,10,12,...
⋮		⋮	⋮
C駅	2018/12/30	21:00	1,1,2,3,5,...

【図 4】

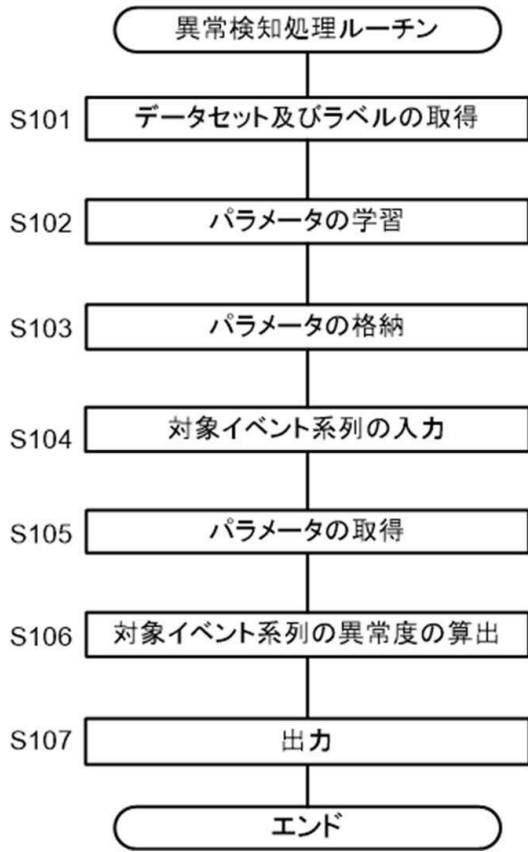
検索対象のエリア	検索対象の日にち	検索対象の時間	異常(混雑)
A駅	2018/1/2	10:00	1(混雑あり)
B駅	2018/1/4	12:00	0(混雑なし)
⋮		⋮	⋮
C駅	2018/12/30	21:00	0(混雑なし)

30

40

50

【 図 5 】



10

20

30

40

50

---

フロントページの続き

- (56)参考文献 特開 2018 - 139085 (JP, A)  
特開 2016 - 062544 (JP, A)
- (58)調査した分野 (Int.Cl., DB名)  
G06N 20/00